

УДК 531.383

**ДИНАМИЧЕСКИ НАСТРАИВАЕМЫЙ ГИРОСКОП
В УСЛОВИЯХ ПРОСТРАНСТВЕННЫХ ДВИЖЕНИЙ ОСНОВАНИЯ**

ЗБРУЦКИЙ А. В., ПАВЛОВСКИЙ М. А.

(Киев)

Вопросы теории линейной модели динамически настраиваемого гироскопа, его погрешности, вызванные технологическими отклонениями параметров и ускорениями основания, изложены в [1—5]. Для повышения точности такого гироскопа необходимо исследовать ряд тонких явлений в его динамике. В публикуемой работе выявляются особенности нелинейной модели гироскопа в условиях пространственного движения основания и оцениваются эффекты, возникающие из-за нелинейных факторов в системе, которые обусловлены особенностями кинематики гироскопа, несовершенной упругостью его подвеса, проявляющейся в виде трения гистерезисного типа, конечной изгибной жесткостью и сложным характером деформации торсионов подвеса.

1. Рассмотрим движение симметричного динамически настраиваемого гироскопа (фиг. 1, а), установленного на подвижном основании.

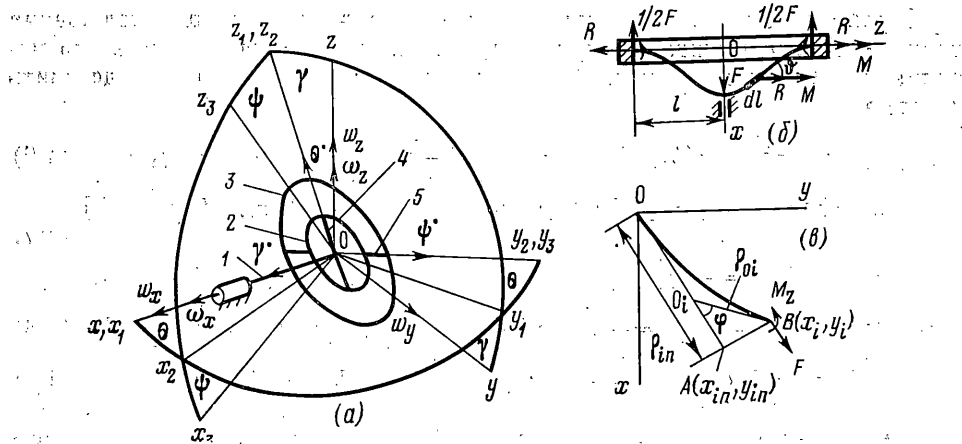
Введем следующие системы координат: $Oxyz$ — неизменно связанная с основанием гироскопа, $Ox_1y_1z_1$ — связанная с валом приводного двигателя 1, $Ox_2y_2z_2$ — с кардановым кольцом 2, $Ox_3y_3z_3$ — с ротором 3.

Обозначим A_i , B_i — полярный и экваториальный моменты инерции, m_i — масса i -го элемента гироскопа ($i=2,3$), c_i ($i=2,3$) — коэффициенты жесткости на кручение, c_{4x} , c_{4y} , c_{5x} , c_{5z} — коэффициенты жесткости на изгиб торсионов 4 и 5 вдоль соответствующей оси, c — коэффициент жесткости торсионов на растяжение, E , G — модули упругости первого и второго рода, I — экваториальный, I_0 — полярный моменты инерции сечения торсиона, l , b , h — длина, ширина и толщина его пластины, k_i — коэффициент вязкого внешнего трения i -го тела, γ — угловая скорость собственного вращения вала приводного двигателя, ω_x , ω_z — составляющие угловых скоростей, w — поступательное ускорение основания гироскопа.

Полагая вначале, что упругие элементы торсионов обладают конечной жесткостью на кручение и изгиб и намного большей на растяжение — сжатие, положение элементов гироскопа в системе координат $Ox_1y_1z_1$ зададим шестью обобщенными координатами: x_2 , y_2 — линейные перемещения центра масс кольца в системе координат $Ox_1y_1z_1$, x_3 , z_3 — линейные перемещения центра масс ротора в системе координат $Ox_2y_2z_2$, θ , ψ — угловые перемещения кольца и ротора [6].

Учитывая, что жесткости кольца и ротора превышают жесткость подвеса, поступательные перемещения центров масс элементов гироскопа будут обусловлены в основном прогибами упругих элементов торсионов. Возникающие при этом, а также вследствие вращения с угловой скоростью γ растягивающие силы и нормальные напряжения в торсионах увеличивают жесткость последних на кручение [7]. Кривая изгиба торсионов ротора и кольца по аналогии с кривой изгиба балки с жестко закрепленными краями при действии приложенной в середине пролета перпендикулярно к ее оси силы может быть описана уравнением [8]:

$$x = \frac{1}{2}f(\cos \pi l^{-1}z + 1) \quad (1.1)$$



Фиг. 1

где величина прогиба f представляет собой поступательное перемещение центра масс соответствующего элемента. Угол закручивания элемента dl торсиона, составляющего с осью z угол φ и находящегося под действием крутящего момента M и растягивающей силы R (фиг. 1, б), равен

$$d\varphi = M[(GI_0+RD)^{-1} \cos^2 \vartheta + (EI)^{-1} \sin^2 \vartheta]dl, \\ R = cf^2 \pi^2 (16l)^{-1} + \Delta l E b h l^{-1} \quad (1.2)$$

Δl — приращение длины торсиона, равное разности перемещений его крайних точек в радиальном направлении при вращении вала.

Параметр D зависит от вида поперечного сечения упругого элемента торсиона. Для прямоугольного, крестообразного и круглого (диаметра d) сечения D равен соответственно: $1/12 b^2$, $1/6 b^2$ ($b > 10h$), $1/8 d^2$. Интегрирование (1.2) по длине стержня l_c $l_c = [1 + f^2 \pi^2 (16l_c^2)^{-1}]l + \Delta l$ дает угол закручивания торсиона φ .

$$\varphi = M(c_i + \Delta c_i + \Delta c_{i0})^{-1}, \quad \Delta c_i = af^2 \quad (1.3)$$

$$\Delta c_{i0} = 2\Delta l E b h D l^{-2}, \quad a = \pi^2 [cD - 2G^2 I_0^2 (EI)^{-1}] (8l^2)^{-1} \quad (1.4)$$

Не ограничивая общности задачи, рассмотрим влияние на динамику гироскопа составляющей Δc_i изменения жесткости, а постоянную (при $\gamma = \text{const}$) составляющую Δc_{i0} , оцененную в [9], учтем в жесткости недеформированного торсиона c_i .

Сложный характер деформаций торсиона (изгиб с кручением) обусловлен одновременным действием крутящего момента M_z и изгибающей силы F (фиг. 1, в) в условиях пространственного движения основания. Отметим, что при $M_z = 0$ имеем $\rho_{in}(x_{in}, y_{in}) = \rho_i$ ($i = 2, 3$), где ρ_{in} — радиус-вектор перемещения центров масс под действием силы вследствие прогибов торсионов, а ρ_i характеризует положение центров масс в соответствующей системе координат.

Несовершенную упругость подвеса гироскопа и трение в элементах его крепления, которые имеют характер трения гистерезисного типа, выразим функцией [10]:

$$\Phi^\pm(\varphi) = \mp \frac{v}{n} [(\varphi_0 + \varphi)^n - 2^{n-1} \varphi_0^n] \quad (1.5)$$

где φ_0 — амплитуда циклической деформации, v , n — постоянные величины, определяемые экспериментально.

Ограничиваюсь рассмотрением движения гироскопа вблизи положения равновесия и удерживая величины до третьего порядка относительно координат и их производных, уравнения его движения можно представить в форме

$$\psi'' + b_{12}\theta' + (b_{13} + b_{14})\psi = \varepsilon f_1, \quad \theta'' - b_{21}\psi' + (b_{22} + b_{23})\theta = \varepsilon f_2 \quad (1.6)$$

$$x_3'' + b_{31}x_3 - b_{32}x_2 = \varepsilon [-2h_3(x_2' + x_3') + 2h_4x_2' - b_{31}\Phi^\pm(x_3) + f_3(x_3, \dots)] \quad (1.7)$$

$$x_2'' + b_{41}x_2 - b_{42}x_3 = -w_{x1} + \varepsilon [-2h_4x_2' - b_{41}\Phi^\pm(x_2) + b_{42}\Phi^\pm(x_3) + f_4(x_2, \theta, \dots)] \quad (1.8)$$

$$z_3'' + b_{51}y_2' + (b_{52} - b_{53})z_3 = -w_{z1} + \varepsilon [-2h_5z_3' - b_{52}\Phi^\pm(z_3) + f_5(z_3, \psi, \dots)] \quad (1.9)$$

$$y_2'' - b_{61}z_3' + (b_{62} - b_{63})y_2 = -w_{y1} + \varepsilon [-2h_5y_2' - b_{62}\Phi^\pm(y_2) + f_6(y_2, \dots)] \quad (1.9)$$

Здесь ε — положительный параметр, введенный аналогично работе [11] и отражающий малость членов, записанных в правых частях уравнений

$$\begin{aligned} b_{12} &= \gamma(A_3 - 2B_3)B_3^{-1}, & b_{13} &= (A_3 - B_3)B_3^{-1}\gamma^2, & b_{14} &= b_{140} + b_{14+} \\ b_{15} &= A_3B_3^{-1}, & b_{16} &= (A_3 - B_3)B_3^{-1}, & b_{17} &= (A_3 - 2B_3)B_3^{-1}, & b_{18} &= m_3B_3^{-1} \\ q &= (B_2 + B_3)^{-1}, & b_{21} &= q\gamma(A_3 - 2B_3), & b_{22} &= q\gamma^2(A_2 + A_3 - B_2 - B_3) \\ b_{23} &= b_{230} + b_{23+}, & b_{24} &= q(A_2 + A_3), & b_{25} &= q(A_2 + A_3 - B_2 - B_3), & b_{26} &= q(A_3 - B_3) \\ b_{27} &= q(A_3 - 2B_3), & b_{28} &= m_2q, & b_{140} &= c_3B_3^{-1}, & b_{230} &= c_2q, & b_{14+} &= a(x_3^2 + z_3^2)B_3^{-1} \\ b_{23+} &= aq(x_2^2 + y_2^2), & b_{31} &= c_{5x}m_3^{-1} + c_{5x}m_2^{-1}, & b_{32} &= b_{41} = c_{4x}m_2^{-1} \\ b_{42} &= c_{5x}m_2^{-1}, & b_{51} &= 2\gamma, & b_{52} &= c_{5x}m_3^{-1}, & b_{53} &= \gamma^2, & b_{61} &= 2m_3(m_2 + m_3)^{-1}\gamma \\ b_{62} &= c_{4y}(m_2 + m_3)^{-1}, & b_{63} &= m_3(m_2 + m_3)^{-1}\gamma^2, & 2h_1 &= k_1B_3^{-1}, & 2h_2 &= k_2q \\ 2h_3 &= k_3m_3^{-1}, & 2h_4 &= k_2m_2^{-1}, & 2h_5 &= (k_2 + k_3)(m_2 + m_3)^{-1} \end{aligned} \quad (1.10)$$

$$\begin{aligned} \varepsilon f_1 &= -b_{15}\omega_z\gamma \cos\gamma - 2h_1\psi - b_{14}\Phi^\pm(\psi) + ^2/3b_{16}\gamma^2\psi^3 + ^4/2b_{16}\psi\omega_z^2 \cos 2\gamma - 2b_{13}\gamma^{-1}\omega_x\psi - \\ &- b_{15}\omega_x\omega_z \cos\gamma + \dots + b_{18}[\rho_{03}(z_3'' + 2\gamma'y_2' - \gamma^2z_3 + w_{z1}) \cos\alpha - \rho_{03}(x_3'' + x_2'' - \\ &- ^4/2x_2''\theta^2 + y_2''\theta + w_{x1}' - ^1/2w_{x1}\theta^2 + w_{y1}\theta) \sin\alpha] \end{aligned}$$

$$\begin{aligned} \varepsilon f_2 &= b_{24}\omega_z\gamma \sin\gamma - 2h_2\theta - b_{23}\Phi^\pm(\theta) + ^2/3b_{25}\gamma^2\theta^3 - ^1/2b_{25}\theta\omega_z^2 \cos 2\gamma - 2b_{22}\gamma^{-1}\omega_x\theta + \\ &+ b_{24}\omega_x\omega_z \sin\gamma + \dots - b_{28}[\rho_{02}(y_2'' - \gamma^2y_2 + w_{y1}) \cos\beta - \rho_{02}(x_2'' + w_{x1}) \sin\beta] + \\ &+ q(x_3F_{3y2} - y_3F_{3x2}) \end{aligned} \quad (1.11)$$

εf_i ($i=3, \dots, 6$) — нелинейные члены

$$\begin{aligned} \rho_{03} &\approx (x_3^2 + z_3^2)^{1/2}(1 + ^1/6\psi^2)[1 - GI_0(2EI)^{-1}], & \rho_{02} &\approx (x_2^2 + y_2^2)^{1/2}(1 + ^1/6\theta^2) \times \\ &\times [1 - GI_0(2EI)^{-1}], & \alpha &= \arcsin z_3n\rho_{3n}^{-1} - \psi, & \beta &= \arcsin x_{2n}\rho_{2n}^{-1} - \theta \\ w_{x1} &= w_x, & w_{y1} &= w_y \cos\gamma + w_z \sin\gamma, & w_{z1} &= w_z \cos\gamma - w_y \sin\gamma \end{aligned} \quad (1.12)$$

F_2, F_3 — силы, действующие на кольцо и ротор соответственно.

Нелинейные связи между координатами системы в уравнениях (1.6) — (1.9) отражают взаимосвязь угловых и поступательных движений. Наиболее сильно это проявляется в условиях резонансов, когда поступательные перемещения кольца и ротора вследствие конечной жесткости упругого подвеса порождают погрешности гироскопа.

2. Оценим влияние поступательной вибрации на погрешности гироскопа, проявляющиеся в виде угловых отклонений ψ и θ .

Малость членов εf_i ($i=3, \dots, 6$) и большая жесткость торсионов подвеса на изгиб обусловливают слабое влияние угловых перемещений на поступательные и позволяют при $\varepsilon=0$ разделить уравнения углового (1.6) и поступательного (1.7) — (1.9) движений. В этом случае $\rho_{in}=\rho_i$ ($i=2, 3$) определены из уравнений (1.7) — (1.9). Если вибрацию основания представить в виде

$$w_x = -a_1 \cos n_1 t, \quad w_y = -a_2 \cos n_2 t, \quad w_z = -a_3 \cos n_3 t \quad (2.1)$$

то смещения x_i, y_i, z_i при $\varepsilon=0$ в установившемся режиме будут иметь вид

$$x_2 = a_{x2} \cos n_1 t, \quad x_3 = a_{x3} \cos n_1 t, \quad y_2 = \sum_{i,h=1}^2 [a_{y2}(\lambda_h) \cos \lambda_h t - a_{y2}(\lambda_i) \sin \lambda_i t], \\ z_3 = \sum_{i,h=1}^2 [a_{z3}(\lambda_i) \cos \lambda_i t + a_{z3}(\lambda_h) \sin \lambda_h t] \quad (2.2)$$

$$\begin{aligned} a_{x2} &= \frac{b_{34}-n_1^2}{\Delta(n_1)} a_1, \quad a_{x3} = \frac{b_{32}}{\Delta(n_1)} a_1, \quad a_{y2}(\lambda_i) = \frac{(-1)^i (b_{52}-b_{53}-\lambda_i^2) + b_{61}\lambda_i}{2\Delta(\lambda_i)} a_3 \\ a_{y2}(\lambda_h) &= \frac{b_{52}-b_{53}-\lambda_h^2 + (-1)^h b_{61}\lambda_h}{2\Delta(\lambda_h)} a_2, \quad a_{z3}(\lambda_i) = \frac{b_{62}-b_{63}-\lambda_i^2 + (-1)^i b_{51}\lambda_i}{2\Delta(\lambda_i)} a_3 \\ a_{z3}(\lambda_h) &= \frac{b_{51}\lambda_h + (-1)^h (b_{62}-b_{63}-\lambda_h^2)}{2\Delta(\lambda_h)} a_2, \quad \Delta(n_1) = n_1^4 - (b_{34}+b_{41})n_1^2 + b_{34}b_{41} - b_{32}b_{42} \end{aligned}$$

$$\Delta(\lambda_{i,h}) = \lambda_{i,h}^4 - (b_{52}+b_{62}-b_{53}-b_{63}+b_{51}b_{61})\lambda_{i,h}^2 + (b_{52}-b_{53})(b_{62}-b_{63})$$

Для случая равноускоренного движения основания в соотношениях (2.1), (2.2) следует положить $n_1=n_2=n_3=0$. Если принять $a_1=a_2=0, a_3=g$, то полученные формулы позволяют оценить влияние силы веса кольца и ротора на поведение гироскопа.

Погрешности прибора (ψ, θ) найдем как приближенные решения нелинейных уравнений (1.6). Воспользовавшись методом усреднения, представим искомые решения в виде

$$\psi = \sum_{j=1}^2 C_j e^{i\omega_j t} + D_j e^{-i\omega_j t}, \quad \theta = i \sum_{j=1}^2 \chi_j (C_j e^{i\omega_j t} - D_j e^{-i\omega_j t}), \quad i^2 = -1 \quad (2.3)$$

и преобразуем систему уравнений (1.6) к стандартной форме

$$\begin{aligned} C_j &= (-1)^j \frac{\varepsilon}{2} \left(i \frac{f_1+l_1}{\chi_{j1}} + \frac{f_2+l_2}{\chi_{j2}} \right) e^{-i\omega_j t} \\ D_j &= -(-1)^j \frac{\varepsilon}{2} \left(i \frac{f_1+l_1}{\chi_{j1}} - \frac{f_2+l_2}{\chi_{j2}} \right) e^{i\omega_j t} \quad (2.4) \\ \omega_{j0}^2 \omega_j^{-2} &= 1 + \varepsilon \eta_j, \quad l_1 = - \sum_{j=1}^2 \eta_j \left(\omega_{j0}^2 + \frac{1}{2} b_{12} \chi_j \omega_{j0} \right) (C_j e^{i\omega_j t} + D_j e^{-i\omega_j t}) \\ l_2 &= -i \sum_{j=1}^2 \eta_j \left(\chi_j \omega_{j0}^2 + \frac{1}{2} b_{12} \omega_{j0} \right) (C_j e^{i\omega_j t} - D_j e^{-i\omega_j t}) \\ \chi_i &= \frac{b_{21} \omega_{j0}}{b_{22} + b_{23} - \omega_{j0}^2}, \quad \chi_{11} = \frac{\omega_1 \chi_2 - \omega_2 \chi_1}{\chi_2}, \quad \chi_{12} = \omega_1 \chi_1 - \omega_2 \chi_2 \\ \chi_{21} &= (\omega_1 \chi_2 - \omega_2 \chi_1) \chi_1^{-1}, \quad \omega_{j0}^2 = \frac{1}{2} \{b_{13} + b_{140} + b_{22} + b_{230} + \\ &+ b_{12} b_{21} - (-1)^j [(b_{13} + b_{140} + b_{22} + b_{230} + b_{12} b_{21})^2 - 4(b_{13} + b_{140})(b_{22} + b_{230})]^{1/2}\} \end{aligned}$$

Переменные C_j и D_j связаны с амплитудой ρ_j и фазой δ_j колебаний соотношениями $C_j = \rho_j e^{-i\delta_j}, D_j = \rho_j e^{i\delta_j}$.

При нахождении решений вида (2.3) целесообразно произвести гармоническую линеаризацию функции (1.5), представив ее в виде

$$\Phi^\pm(\varphi) = -A_{1*}\varphi_0^{n-1} \varphi + A_{2*}\varphi_0^{n-1} \varphi^* \quad (2.5)$$

где A_{1*}, A_{2*} — коэффициенты гармонической линеаризации.

Осуществляемая в гироскопе динамическая настройка [1] выражается соотношением

$$\omega_{10} \approx \gamma^*, \quad \omega_{10} > \omega_{20}, \quad \omega_{20} \neq m/p\omega_{10} \quad (2.6)$$

где m, p — целые взаимно простые числа.

Приближенное условие динамической настройки имеет вид

$$\gamma^* = (c_2 + c_3 + a(x_3^2 + z_3^2 + x_2^2 + y_2^2)) (2B_2 - A_2)^{-1} \quad (2.7)$$

и является функцией прогибов торсионов при поступательной вибрации и ускорениях основания гироскопа, что служит причиной нарушения точности динамической настройки.

При этом постоянную составляющую $\delta\omega_{10}$ изменения резонансной частоты ω_{10} (2.6) при поступательной вибрации и ускорениях оценим выражением

$$\delta\omega_{10} = \frac{\omega_{10} - \omega_{10*}}{\omega_{10*}} = [1 + a(x_2^2 + y_2^2 + x_3^2 + z_3^2)(c_2 + c_3)^{-1}]^{1/2} - 1 \quad (2.8)$$

где ω_{10*} — частота резонансной настройки гироскопа на неподвижном основании.

Периодические составляющие жесткости подвеса на кручение b_{14+}, b_{23+} при рассматриваемом характере движения (2.2) центров масс могут быть причиной динамической неустойчивости системы и возбуждения угловых колебаний гироскопа при следующих группах соотношений частот [11] (λ — частота модуляции жесткости подвеса):

$$2\omega_{j0} = \lambda, \quad j=1, 2; \quad \omega_{10} \pm \omega_{20} = \lambda \quad (2.9)$$

Отметим, что составляющие спектра колебаний с частотой γ^* , вызванные действующими на гироскоп возмущениями, представляют его погрешность.

Учитывая условие (2.6) и выражения (2.2), определим значения частот пространственной вибрации основания, при которых выполняются соотношения (2.9).

Для первой группы

$$n_1 = \gamma^*, \quad n_2 = 2\gamma^*, \quad n_3 = 2\gamma^*, \quad n_2 + n_3 = 2\gamma^*, \quad n_2 + n_3 = 4\gamma^*, \quad n_2 = 0, \quad n_3 = 0 \quad (2.10)$$

Для второй группы

$$2n_1 = \gamma^* \pm \omega_{20}, \quad 2n_2 = 3\gamma^* \pm \omega_{20}, \quad 2n_3 = 3\gamma^* \pm \omega_{20} \\ n_2 + n_3 = \gamma^* \pm \omega_{20}, \quad n_2 + n_3 = 3\gamma^* \pm \omega_{20} \quad (2.11)$$

Учитывая общую для всех соотношений (2.9) природу возникновения погрешности гироскопа, ограничимся подробным анализом резонансного случая $2\omega_{10} \approx \lambda$.

Усредняя (2.4) при $\omega_x = \omega_z = 0$, $n_1 \approx \gamma^*$ и учитывая (2.2), получим

$$C_1 = -1/2ie[(S_{11} - iS_{12} + 1/4S_{13}\rho_1^2 - S_{14})C_1 - S_{15}D_1] \\ D_1 = 1/2ie[(S_{11} + iS_{12} + 1/4S_{13}\rho_1^2 - S_{14})D_1 - S_{15}C_1] \quad (2.12)$$

$$S_{11} = S_1 + S_0\rho_1^{n-1}, \quad S_{12} = H_1 + S_0\rho_1^{n-1}$$

$$S_{13} = \chi_{11}^{-1}[b_{16}(2 - 3\chi_1 + 4\chi_1^2) - b_{17}\chi_1^3]\gamma^* + 2\chi_{12}^{-1}b_{25}\chi_1^3 + \dots \\ S_1 = [\chi_{11}^{-1}(\omega_{10}^2 + 1/2b_{12}\chi_1\omega_{10}) + \chi_{12}^{-1}(\chi_1\omega_{10}^2 + 1/2b_{12}\omega_{10})]n_1^{-2}(n_1^2 - \omega_{10}^2)$$

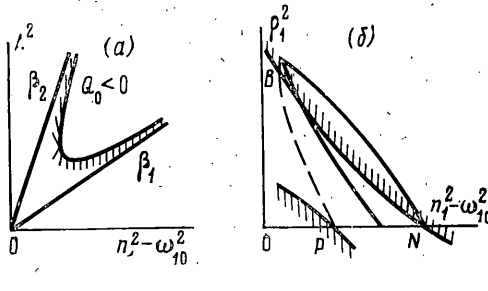
$$\begin{aligned} S_0 &= (\chi_{11}^{-1} b_{140} + \chi_{12} b_{230} \kappa_1) A_{1*}, \quad S = S_0 \gamma^* A_{2*} A_{4*}^{-1} \\ H_1 &= 2\gamma^* (\chi_{11}^{-1} h_1 + \chi_{12}^{-1} \kappa_1 h_2), \quad S_{14} = a a_{x_3}^{-2} (2B_3 \chi_{11})^{-1} + a q \kappa_1 a_{x_2}^{-2} (2\chi_{12})^{-1} \\ S_{15} &= a [a_{x_3}^{-2} (4B_3 \chi_{11})^{-1} - q \kappa_1 a_{x_2}^{-2} (4\chi_{12})^{-1}] \end{aligned}$$

Система уравнений для C_2 и D_2 описывает затухающие колебания с частотой ω_{20} . Уравнениям (2.12) удовлетворяют значения переменных $C_1 = D_4 = 0$ и $C_4 = C_{10} = \text{const}$, $D_1 = D_{10} = \text{const}$. Устойчивость рассматриваемых решений определяется корнями соответствующих характеристических уравнений, составленных для уравнений в вариациях. Нетрудно убедиться, что условия возбуждения (условия неустойчивости состояния $C_1 = D_4 = 0$) и устойчивости стационарных колебаний для $n=3$ имеют вид

$$(S_1 - S_{14})^2 + H_1^2 - S_{15}^2 = Q_0 < 0 \quad (2.13)$$

$$5[(S_0 + 1/4S_{13})^2 + S^2] \rho_1^4 +$$

$$+ 6[(S_1 - S_{14})(S_0 + 1/4S_{13}) +$$



Фиг. 2

$$+ H_1 S) \rho_1^2 + (S_1 - S_{14})^2 + H_1^2 - S_{15}^2 = Q > 0 \quad (2.14)$$

Левая часть неравенства (2.13) представляет гиперболу (фиг. 2, a) в плоскости параметров (A^2 , $n_1^2 - \omega_{10}^2$) с асимптотами

$$A^2 = \beta_1(n_1^2 - \omega_{10}^2), \quad A^2 = \beta_2(n_1^2 - \omega_{10}^2) \quad (2.15)$$

$$A = a_{x3} = a_{x2} k_{x2}^{-1}, \quad \beta_1 = [\chi_{11}^{-1}(\omega_{10}^2 + 1/2b_{12}\kappa_1\omega_{10}) + \chi_{12}^{-1}(\kappa_1\omega_{10}^2 + 1/2b_{12}\omega_{10})][(b_1 + b_2)n_1^2]^{-1}$$

$$\beta_2 = [\chi_{11}^{-1}(\omega_{10}^2 + 1/2b_{12}\kappa_1\omega_{10}) + \chi_{12}^{-1}(\kappa_1\omega_{10}^2 + 1/2b_{12}\omega_{10})][(b_1 - b_2)n_1^2]^{-1}$$

$$b_1 = a(2B_3 \chi_{11})^{-1} + a q \kappa_1 a_{x2}^{-2} (2\chi_{12})^{-1}, \quad b_2 = a(4B_3 \chi_{11})^{-1} - a q \kappa_1 a_{x2}^{-2} (4\chi_{12})^{-1}$$

Таким образом, динамическая неустойчивость гироскопа при ускорениях и вибрации основания может иметь место как в случае смещения центров масс кольца и ротора, так и вследствие прогибов торсионов и вызываемой ими модуляции жесткости подвеса на кручение. В последнем случае возбуждение колебаний возможно при отличной от нуля расстройке частот ($n_1^2 - \omega_{10}^2 > 0$) и амплитуде вибрации A , лежащей в пределах

$$\beta_1(n_1^2 - \omega_{10}^2) < A^2 < \beta_2(n_1^2 - \omega_{10}^2) \quad (2.16)$$

3. Положив в (2.12) $C_1 = D_1 = 0$, найдем следующие уравнения для определения амплитуды ρ_1 и фазы δ_1 , представляющих погрешность гироскопа

$$[(S_0 + 1/4S_{13})^2 + S^2] \rho_1^4 + 2[(S_1 - S_{14})(S_0 + 1/4S_{13}) + H_1 S] \rho_1^2 +$$

$$+ H_1^2 + (S_1 - S_{14})^2 - S_{15}^2 = \Phi = 0 \quad (3.1)$$

$$\sin 2\delta_1 = -(H_1 + S\rho_1^2) S_{15}^{-1} \quad (3.2)$$

Максимальное значение амплитуды колебаний определяется из условия $\partial\Phi/\partial S_1 = 0$:

$$\rho_1^2 = (-H_1 + S_{15}) S^{-1} \quad (3.3)$$

при этом расстройка частот определена соотношением

$$n_1^2 - \omega_{10}^2 = [-(S_0 + 1/4S_{13}) \rho_1^2 + S_{14}] [\chi_{11}^{-1}(\omega_{10}^2 + 1/2b_{12}\kappa_1\omega_{10}) +$$

$$+ \chi_{12}^{-1}(\kappa_1\omega_{10}^2 + 1/2b_{12}\omega_{10})]^{-1} n_1^2 \quad (3.4)$$

Из формулы (3.3) следует, что действие трения гистерезисного типа (S), существенно ограничивающее амплитуду параметрических колебаний, качественно отличается от влияния вязкого трения (H_1). Граница области устойчивости решений $C_1=C_{10}$, $D_1=D_{10}$ определяется уравнением гиперболы $Q=0$ (2.14), пересекающей кривую (3.1) в точках возбуждения ($\rho_1=0$) и срыва колебаний

$$\rho_1^2 = -[(S_1 - S_{14})(S_0 + \frac{1}{4}S_{13}) + H_1 S] / [(S_0 + \frac{1}{4}S_{13})^2 + S^2]$$

Характер зависимости квадрата амплитуды ρ_1^2 от разности квадратов частот $n_1^2 - \omega_{10}^2$ показан на фиг. 2, б. Отметим, что гистерезисное трение не влияет на ширину области возбуждения (PN).

4. Полагая вязкое трение в системе малым, силы F_i , действующие на ротор и кольцо, можно выразить через силы упругих реакций подвеса

$$F_2 = -m_2 W_2 = c_4 \rho_2 - c_5 \rho_3 + \Phi^\pm(\rho_2), \quad F_3 = -m_3 W_3 = c_5 \rho_3 + \Phi^\pm(\rho_3) \quad (4.1)$$

Тогда возмущающий момент, обусловленный неравножесткостью торсионов подвеса ротора (1.11) при $c_{4x}=c_{4y}$, $c_{5x}=c_{5z}$, преобразуем к виду

$$M_{3zz} = q(x_3 F_{3yz} - y_3 F_{3xz}) = q[x_3 y_3 (c - c_5) + x_3 \Phi^\pm(y_3) - y_3 \Phi^\pm(x_3)] \quad (4.2)$$

Если жесткости торсионов подвеса ротора на изгиб и растяжение — сжатие равны ($c_5=c$), то

$$M_{3zz} = q[x_3 \Phi^\pm(y_3) - y_3 \Phi^\pm(x_3)] \quad (4.3)$$

т. е. в случае равножестких торсионов момент (4.2) не может быть устранен полностью, а только уменьшен до величин (4.3), определяющейся несовершенной упругостью материала (1.5).

Для неравножестких торсионов при условии $c \gg c_5$ можно положить $y_3 \approx 0$. Пренебрегая трением и учитывая (2.2), получим

$$\begin{aligned} M_{3zz} = q x_3 F_{3yz} &= -q m_3 a_{xz} \sum_{i,k=1}^2 \{-a(\lambda_k) [\cos(\lambda_k + n_i)t + \cos(\lambda_k - n_i)t] + \\ &+ a(\lambda_i) [\sin(\lambda_i + n_i)t + \sin(\lambda_i - n_i)t]\} \quad (4.4) \\ a(\lambda) &= \frac{1}{2} a_{yz}(\lambda) (\lambda^2 + \gamma^2) + \gamma \lambda a_{xz}(\lambda) + \frac{1}{4} a_2, \quad \lambda = \lambda_k, \lambda_i \end{aligned}$$

Погрешность гироскопа будет иметь место при соотношениях частот

$$n_p - n_i = 0, \quad n_p \pm n_i = 2\gamma \quad (\lambda_k \pm n_i = \gamma, \quad \lambda_i \pm n_i = \gamma), \quad p=2, 3 \quad (4.5)$$

и может быть охарактеризована угловой скоростью ухода, которая равна

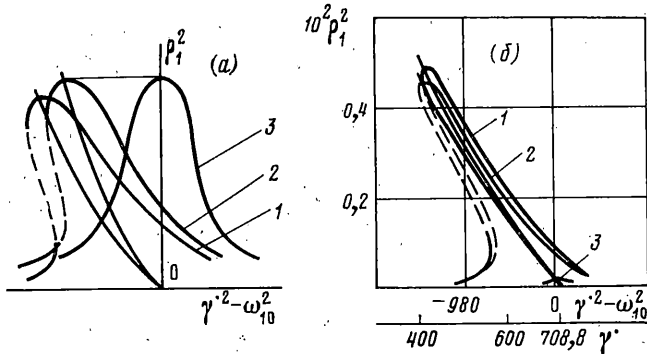
$$\omega = q m_3 a_{xz} a(\lambda) / (2 b_{24} \gamma) = m_3 a_{xz} a(\lambda) / [2(A_2 + A_3) \gamma] \quad (4.6)$$

Из уравнений движения (1.6) и выражения (1.11) следует, что неравножесткость упругого подвеса кольца ($c \neq c_4$) на погрешности гироскопа не влияет.

5. Исследуем величину и характер действующих на гироскоп возмущающих моментов, обусловленных сложным характером деформации торсионов подвеса (1.12) (фиг. 1, в) при поступательной вибрации и равномерном вращении основания $\omega_z = \text{const}$. Пренебрегая влиянием трения при поступательных колебаниях и учитывая (4.1), для равножестких па изгибе торсионов получим

$$M_{3yz} = -m_3^{-1} c_5 b_{18} (x_3^2 + z_3^2) \sin \psi \quad (5.1)$$

$$M_{2z1} = m_2^{-1} b_{28} [c_4 (x_2^2 + y_2^2) \sin \theta - c_5 (x_1 x_2 \sin 2\theta - y_2 x_3 \cos 2\theta)] \quad (5.2)$$



Фиг. 3

Сравним составляющие моментов (5.1) и (5.2), имеющие характер параметрического возмущения, с моментом от периодического изменения жесткости

$$(m_3 b_{14+})^{-1} b_{18} c_5 (x_3^2 + z_3^2) = c_5 a^{-1} < 1 \quad (5.3)$$

Из соотношения (5.3) следует, что рассматриваемый момент ввиду его малости можно не учитывать в некоторых случаях при исследовании динамики гироскопа. Остальные слагаемые в выражении (5.2) по структуре и величине аналогичны моменту от неравножесткости торсионов.

Применяя приведенную выше методику, из уравнений (2.4) легко определить условие динамической настройки нелинейной модели гироскопа в условиях равномерного вращения основания [6]

$$S_1 = (\frac{1}{4} S_{13} \rho_{1*}^2 + S_0 \rho_{1*}^{n-1}) \quad (5.4)$$

Максимальное значение амплитуды колебаний ρ_{1*} при этом находится из уравнения

$$(H_1 + S_0 \rho_{1*}^{n-1}) \rho_{1*} = 2S_{16} \quad (5.5)$$

Положив $S=S_0=S_{13}=0$, из (5.4) и (5.5) получим известные соотношения для линейной модели динамически настраиваемого гироскопа

$$\gamma = \omega_{10}, \rho_{1*} = 2S_{16} H_1^{-1} \quad (5.6)$$

Резонансные кривые для гироскопа на равномерно вращающемся основании показаны на фиг. 3, а при $n=3$, где 1 — кривая при $S_0 \neq 0, S_{13} \neq 0$, 2 — при $S=S_0=0$ (для гироскопа с идеально упругими торсионами), 3 — при $S=S_0=S_{13}=0$ (для линейной модели гироскопа), а результат численного решения — на фиг. 3, б при $v=0$ (кривая 1) и $v=0,01$ (кривая 2) при $\omega_x=7 \cdot 10^{-3} \text{ с}^{-1}$ и $\omega_z=10^{-3} \text{ с}^{-1}$ (кривая 3). Как следует из (5.5), (5.6) и фиг. 3, несовершенная упругость материала торсионов ограничивает амплитуды колебаний гироскопа и изменяет наклон скелетной кривой.

6. Рассмотрим теперь гироскоп в условиях угловой вибрации основания. Пусть $\omega_x=d_1 \cos v_1 t$, $\omega_z=d_2 \cos v_2 t$. Как следует из структуры слагаемых (1.11), в гироскопе возможно существование резонансных состояний при соотношениях частот

$$v_{1,2} = k\gamma, \quad v_{1,2} = k(\gamma \pm \omega_0), \quad v_1 \pm v_2 = 2\gamma, \quad v_1 = v_2, \quad k=1, 2 \quad (6.1)$$

и нерезонансных значениях частот вибрации v_2 .

Общими для всех соотношений (6.1) будут уравнения для огибающих

$$C_1 = -\frac{1}{2}i\varepsilon [(S_{14r} - iS_{12r} + \frac{1}{4}S_{13}\rho_1^2 + S_{14r}C_2 + S_{15r}D_2) C_1 + (S_{16r} + S_{17r}D_2) D_1 + S_{18r}(C_2 + D_2) - S_{19r}] \quad (6.2)$$

$$D_1 = \frac{1}{2}i\varepsilon [(S_{14r} + iS_{12r} + \frac{1}{4}S_{13}\rho_1^2 + S_{14r}D_2 + S_{15r}C_2) D_1 + (S_{16r} + S_{17r}C_2) C_1 + S_{18r}(C_2 + D_2) - S_{19r}] \quad (6.2)$$

$$C_2 = -\frac{1}{2}i\varepsilon [(S_{21r} - iS_{22r} + \frac{1}{4}S_{23}\rho_2^2) C_2 + S_{25r}(C_1 + D_1) + S_{26r}] \quad (6.3)$$

$$D_2 = \frac{1}{2}i\varepsilon [(S_{21r} + iS_{22r} + \frac{1}{4}S_{23}\rho_2^2) D_2 + S_{25r}(C_1 + D_1) + S_{26r}] \quad (6.3)$$

Индекс r принимает соответствующие значения в зависимости от соотношений (6.1).

Для резонансов, имеющих характер параметрических, $\nu_1=\gamma(r=1)$, $\nu_1=2\gamma(r=2)$, $\nu_2=\gamma(r=3)$ и нерезонансных значениях $\nu_2(r=4)$ условия возбуждения и устойчивости стационарных колебаний имеют вид

$$(S_1 + S_{10r})^2 + H_1^2 - S_{16r}^2 = Q < 0 \quad (6.4)$$

$$5[(S_0 + \frac{1}{4}S_{13})^2 + S^2]\rho_1^4 + 6[(S_1 + S_{10r})(S_0 + \frac{1}{4}S_{13}) + H_1S]\rho_1^2 + (S_1 + S_{10r})^2 + H_1^2 - S_{16r}^2 = Q \geq 0 \quad (6.5)$$

$$S_{163} = \frac{1}{8}[\chi_{11}^{-1}(2+\kappa_1)b_{16} + \chi_{12}^{-1}b_{26}]d_2^2, \quad S_{164} = \frac{1}{8}[\chi_{11}^{-1}(1+\kappa_1)b_{16} + \chi_{12}^{-1}(\kappa_1b_{25} + b_{26})]d_2^2.$$

$$S_{10r} = -(\chi_{11}^{-1}b_{13} + \chi_{12}^{-1}\kappa_1b_{22})d_1^2(2\gamma^2)^{-1} \quad (r=1, 2)$$

$$S_{103} = \frac{1}{8}(3\chi_{11}^{-1}b_{16} + \chi_{12}^{-1}\kappa_1b_{25})d_2^2, \quad S_{104} = \frac{1}{4}(\chi_{11}^{-1}b_{16} + \chi_{12}^{-1}\kappa_1b_{25})d_2^2.$$

$$S_{161} = [\chi_{11}^{-1}(b_{12} - 2b_{13}) - \chi_{12}^{-1}(b_{21}\omega_1 - 2b_{22}\kappa_1)]d_1(2\gamma)^{-1},$$

$$S_{162} = (-\chi_{11}^{-1}b_{13} + \chi_{12}^{-1}\kappa_1b_{22})d_1^2(2\gamma^2)^{-1}$$

Область возбуждения колебания (6.4) показана на фиг. 4, а, б. Вычитая из (6.5) уравнение стационарных амплитуд

$$[S^2 + (S_0 + \frac{1}{4}S_{13})]\rho_1^4 + 2[(S_1 + S_{10r})(S_0 + \frac{1}{4}S_{13}) + H_1S]\rho_1^2 + (S_1 + S_{10r})^2 + H_1^2 - S_{16r}^2 = \Phi = 0 \quad (6.6)$$

получим уравнения кривых, разделяющих плоскость $(\omega_1^2 - \omega_{10}^2, \rho_1^2)$ на области устойчивости и неустойчивости стационарных колебаний

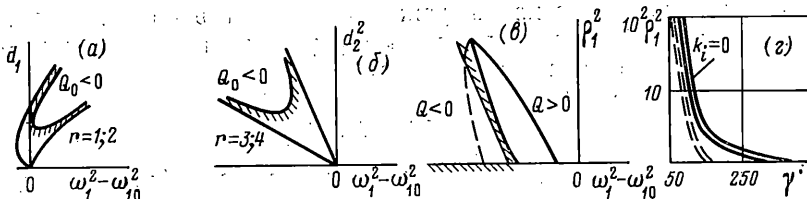
$$\rho_1^2 = 0, \quad \rho_1^2 = [(S_1 + S_{10r})(S_0 + \frac{1}{4}S_{13}) + H_1S][(S_0 + \frac{1}{4}S_{13})^2 + S^2]^{-1} \quad (6.7)$$

Характер зависимости квадрата амплитуды от расстройки частот (6.6) и области устойчивости показаны на фиг. 4, в, а результат численного решения при $\nu_2 \approx \gamma$, $d_2 = 6c^{-1}$ — на фиг. 4, г. В условиях комбинационных резонансов $\nu_2 = \gamma + \omega_{20}(r=5)$, $\nu_2 = \gamma - \omega_{20}(r=6)$ уравнения (6.3) имеют решения $C_2 = \text{const}$, $D_2 = \text{const}$ ($S_{26} \neq 0$). Из условия возбуждения колебаний с частотой γ

$$[S_1 + S_{10r} + b_1(S_{14r} + S_{15r})]^2 + [H_1 + b_2(S_{14r} - S_{15r})]^2 - (S_{16r} + b_1S_{17r})^2 - b_2^2S_{17r}^2 < 0$$

$$2b_1 = \rho_2 \cos \delta_2, \quad 2b_2 = \rho_2 \sin \delta_2, \quad |b_1 S_{17r}| \gg |S_{16r}|, \quad b_2(S_{14r} - S_{15r}) < 0 \quad (6.8)$$

следует, что колебания с частотой ω_{20} расширяют область неустойчивости решений $C_1 = D_1 = 0$ и увеличивают возможность возникновения погрешности гироскопа при отличной от нуля расстройке частот $\nu_2 - (\gamma \pm \omega_{20})$, $\omega_2 \neq \omega_{20}$. Амплитуды колебаний с частотой γ определяются уравнением, аналогичным (6.6). Следуя изложенной методике, легко получить условия устойчивости и амплитуды колебаний гироскопа при угловой вибрации



Фиг. 4

в условиях резонансов

$$\nu_1 = k(\gamma \pm \omega_{20}), \quad k=1, 2 \quad (6.9)$$

которые не приводятся ввиду их громоздкости.

Во всех случаях параметрического возбуждения колебаний влияние трения гистерезисного типа аналогично рассмотренному выше (уравнения (3.1), (3.3)).

При резонансах

$$\nu_1 \pm \nu_2 = 2\gamma, \quad \nu_1 = \nu_2, \quad \nu_2 = 2\gamma \quad (6.10)$$

гироскоп ведет себя, как и на равномерно вращающемся основании. Формула (5.5) в этом случае определяет его максимальную погрешность, где S_{16} принимает соответствующее значение для каждого из резонансов (6.10).

7. Примеры. Оценим численно полученные выше результаты. В гироскопе с параметрами: $A_2=3528 \cdot 10^{-9}$, $B_2=196 \cdot 10^{-8}$, $A_3=9,8 \cdot 10^{-5}$, $B_3=588 \cdot 10^{-7}$ Нм 2 ; $m_2=0,01$, $m_3=0,3$ кг; $c=9,8 \cdot 10^8$, $c_4=c_5=9,8 \cdot 10^6$ Нм $^{-1}$, $c_2=c_3=9,8 \cdot 10^{-3}$ Нм; $b=5 \cdot 10^{-3}$ м; $l=10^{-2}$ м; $I=5 \cdot 10^{-12}$ м 4 ; $\gamma=\omega_{10}=708,87$ с $^{-1}$; $\omega_{20}=473,7$ с $^{-1}$; ширина резонансной зоны $\Delta\gamma \approx 10$ с $^{-1}$.

При ускорении основания $a_1=6g$ имеем $a_{x2}=a_{x3}=2 \cdot 10^{-6}$ м, $\delta\omega_{10}=0,099\%$, $\omega_{10}-\omega_{10*}=0,7$ с $^{-1}$, а в условиях вибрации при $a_{x2}=a_{x3}=2 \cdot 10^{-6}$ м, $\delta\omega_{10}=0,05\%$, $\omega_{10}-\omega_{10*}=0,35$ с $^{-1}$. Если $n_1=708,9$ с $^{-1}$, то динамическая неустойчивость гироскопа возможна при амплитудах вибрации, лежащих в интервале $8,99 \cdot 10^{-6}$ м $< A < 9,04 \cdot 10^{-6}$ м. Угловая скорость ухода гироскопа от неравножесткости торсионов подвеса ротора равна $\omega=10,26 \cdot 10^{-5}$ с $^{-1}=1,41\omega_3$ при $n_1=n_3=\gamma$, $a_1=a_3=3g$, где ω_3 — угловая скорость вращения земли.

Возбуждение колебаний с частотой $\omega_1 \approx \gamma$ может иметь место при следующих параметрах угловой вибрации: $\nu_1=2\gamma$, $0 < \alpha_x < 0,131$; $\nu_1 \approx \gamma$, $\nu_1=708,89$ с $^{-1}$, $0,0111 < \alpha_x < 0,0112$; $\nu_1 \approx \gamma + \omega_{20}$, $\nu_1=1182,56$ с $^{-1}$, $\omega_2=\omega_{20}$, $\alpha_x > 0,24 \cdot 10^{-4}$; $2\nu_1 \approx \gamma + \omega_{20}$, $\nu_1=591,28$ с $^{-1}$, $\omega_2=\omega_{20}$, $\alpha_x > 0,0155$; $2\nu_1 \approx \gamma - \omega_{20}$, $\nu_1=117,86$ с $^{-1}$, $\omega_2=\omega_{20}$, $\alpha_x > 0,0057$; $\nu_2 \approx \gamma$, $\nu_2=708,86$ с $^{-1}$, $0,0068 < \alpha_z < 0,1118$; $\nu_2 \approx \gamma + \omega_{20}$, $\nu_2=\omega_1 + \omega_2=1182,06$ с $^{-1}$, $\omega_2 \neq \omega_{20}$, $1,52 \cdot 10^{-4} < \alpha_z < 0,77 \cdot 10^{-3}$, где $\alpha_x=d_1\nu_1^{-1}$ рад, $\alpha_z=d_2\nu_2^{-1}$ рад.

Приведенные исследования показывают, что учет нелинейных факторов в уравнениях движения позволяет оценить условия возбуждения и величины погрешностей гироскопа в более широком диапазоне частот поступательной и угловой вибрации, чем это следует из анализа линейной модели. Полученные результаты позволяют более точно осуществить динамическую настройку.

В зависимости от вида резонансных состояний по-разному проявляется влияние трения и расстройки частот. При этом трение гистерезисного типа во всех случаях ограничивает амплитуду колебаний.

Поступательная вибрация и ускорения вызывают изменение жесткости рассмотренных типов торсионов на кручение и нарушают условие динамической настройки, что может иметь определяющее влияние на чувствительность и точность гироскопа. Необходим выбор оптимального упругого подвеса, способного также обеспечить равную жесткость торсионов подвеса ротора на изгиб и растяжение — сжатие для исключения погрешности от неравножесткости системы.

Полученные аналитические выражения для погрешностей позволяют сформулировать требования к допустимому уровню вибрации и перегрузок основания в месте установки гироскопа.

ЛИТЕРАТУРА

1. Бровгуль Л. И., Смирнов Е. Л. Вибрационные гироскопы. М.: Машиностроение, 1970. 214 с.
2. Бурмистров В. П., Виноградов Г. М., Родионов Е. М. Динамика гироскопа на упругом подвесе.— Изв. вузов. Приборостроение, 1971, т. 14, вып. 3, с. 70.
3. Saret P. H. Dynamics of Ideal Suspensions Applied to Rotating Bodies in Space.— J. Spacecraft and Rockets, 1966, v. 3, No. 9, p. 43. (Рус. перев.: Механика. Сб. перев. иностр. статей, 1967, № 5, с. 48.)
4. Craig R. Theory of Errors of a Multigimbal Elastically Supported Turned Gyroscop.— IEEE Trans, 1972, v. 8, No. 3, p. 289.
5. Павловский М. А., Збручкий А. В. О повышении чувствительности роторных вибрационных гироскопов.— Прикл. механика, 1978, т. 14, вып. 9, с. 95.
6. Павловский М. А., Збручкий А. В., Виноградов Г. М. О главном резонансе в гироскопе на упругом подвесе.— Прикл. механика, 1978, т. 14, вып. 11, с. 89.
7. Ковалев М. П., Сивоконенко И. М., Явленский К. Н. Опоры приборов. М.: Машиностроение, 1967. 192 с.
8. Тимошенко С. П. Сопротивление материалов. М.: Наука, 1965. 480 с.
9. Полямских М. В. Влияние скорости вращения ротора на угловую жесткость упругого подвеса гироскопа Хоуба.— Изв. вузов. Приборостроение, 1974, т. 17, вып. 6, с. 62.
10. Писаренко Г. С., Яковлев А. П., Матвеев В. В. Вибропоглощающие свойства конструкционных материалов. Киев: Наукова думка, 1971. 376 с.
11. Ганиев Р. Ф., Кононенко В. О. Колебания твердых тел. М.: Наука, 1976. 432 с.

Поступила в редакцию
24.IV.1979